# 污泥驯化对苎麻废弃物厌氧消化产沼气的影响

蒋 勇,郭清吉,蒋小钰,褚衍生

(四川发展中恒能环境科技有限公司,成都 610094)

摘 要:在中温(35°C)条件下对苎麻废弃物进行厌氧消化试验。比较污泥驯化与否对厌氧消化体系的产气量和甲烷含量的影响。结果表明。未经污泥驯化、苎麻废弃物展现出厌氧消化可行性。经过污泥驯化后,厌氧消化产气速率提升,产气缓滞期得到明显缩减或消除,原料产甲烷潜力达到  $44 \text{ mL} \cdot \text{g}^{-1}$ 鲜料,即  $194 \text{ mL} \cdot \text{g}^{-1}$ TS。其中,日产沼气和日产甲烷高峰期从 2 天延长至 6 天。此外,采用驯化后的污泥, $CH_4$ 百分比在 5 天内迅速上升至 55%,并在后期一直稳定于 60% 左右,表明污泥驯化使苎麻废弃物厌氧消化过程得到了较大促进。

关键词: 苎麻废弃物; 厌氧消化; 污泥驯化; 产气潜力

中图分类号: S216.4; X712 文献标志码: A 文章编号: 1000 - 1166(2019) 01 - 0060 - 05

Effects of Sludge Domestication on Biogas Production of Ramie Waste / JIANG Yong , GUO Qing-ji , JIANG Xi-ao-yu , CHU Yan-sheng / ( Sichuan Development SINOBE Environmental Science Technology Co LTD , Chengdu 610094 , China)

**Abstract**: Ramie waste was treated by anaerobic digestion at 35°C. The effects of sludge domestication on gas production and methane content were compared. The results showed that , without sludge domestication , ramie waste exhibited the feasibility of anaerobic digestion. After sludge domestication , the gas production rate was increased , and the gas production lag period was significantly reduced or eliminated. The methane production potential of the raw material reached 44 mL • g<sup>-1</sup> fresh material (194 mL • g<sup>-1</sup>TS). The peak period of daily biogas production and daily methane production were extended from 2 days to 6 days. In addition , with domesticated sludge , the methane content rose rapidly to 55% within 5 days , and remained stable at around 60% in the later period , indicating that sludge domestication greatly promoted the anaerobic digestion process of ramie waste.

Key words: ramie waste; anaerobic digestion; sludge domestication; methane production

我国苎麻常年种植面积  $1 \times 10^5 \sim 2 \times 10^5 \text{ hm}^2$ ,占世界的 90% 以上,苎麻废弃物是指苎麻经过纤维分离之后留下的麻叶和麻骨等,纤维只占苎麻全株生物量的 5% 剩下 95%则是麻叶和麻骨,如何处理大量的麻叶和麻骨,是苎麻生产工艺中急需解决的问题 [1-4]。目前这类废弃物的处理方式主要是饲料化与食用菌基质化,较少探索其厌氧消化产沼气的潜力,而厌氧消化可使大量的废弃麻叶和麻骨减量化,减轻后续处理的负担,同时获取绿色能源沼气,为后续处理工艺提供能量。所以,苎麻废弃物的产沼气潜力和特性是十分值得研究的 [5-10]。

本文根据预实验中苎麻废弃物的产气情况,对污泥进行驯化,通过对整个厌氧消化过程中各项参数的追踪,分析苎麻废弃物的产气特性,为下一步研究和利用到实际生产中做准备。

### 1 材料与方法

## 1.1 材料

# 1.1.1 苎麻废弃物

苎麻废弃物取自湖南省岳阳市洞麻厂,主要是 纤维提取后剩余的麻叶和麻骨。主要性质见表1。

	表 1	苎麻废弃物的主要性质			(%)
TS	VS/ wb	纤维素	半纤维素	木质素	灰分
22.7	84.2	4.8	3.1	6.3	7.9

# 1.1.2 污泥

试验所用污泥取自本公司猪粪厌氧消化反应器中的厌氧污泥 其主要性质见表 2。

表 2 接种污泥的主要性质			(%)	
TS	VS/ wb	pH 值	SVI	
14.8	60.3	7.5	36.8	

收稿日期: 2018-08-03 修回日期: 2018-08-28

作者简介: 蒋 勇(1967 – ) 男 研究员 研究方向为厌氧消化制沼气 E-mail: SINOBE-Jiangyong@ hotmail.com

# 1.2 实验装置

实验装置由 2000 mL 消化瓶(有效体积 1500 mL) 和 1000 mL 的排水集气装置组成(见图 1)。反应瓶放入水浴中,并保证水浴液面高于反应瓶内液面。水浴用加热棒控温在 35% ± 1%。

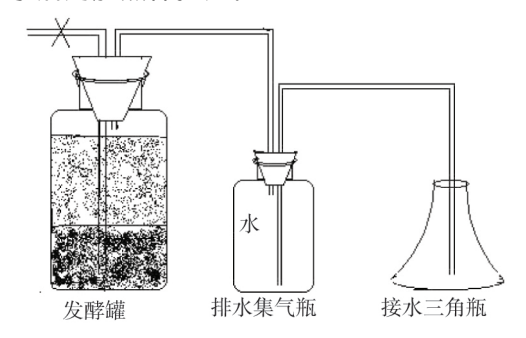


图 1 厌氧消化反应装置图

#### 1.3 试验方法

驯化实验按照污泥: 苎麻废弃物 TS=4:1进料,发酵罐  $TS=7.5\%\sim8\%$ ,分实验组和对照组,每组 3个平行。发酵过程持续 12~d,每 12~小时摇动 1~次反应瓶,保证有机质被充分利用。

表 3	驯化实验各实验组组成	(g)

分 组	苎麻废弃物	接种污泥	水
实验组	105	650	745
对照组	0	650	0

驯化后实验按照接种物: 苎麻废弃物 TS=2:1 进料 ,发酵罐  $TS=7.5\%\sim8\%$  ,接种物采用驯化实验后的厌氧消化液 ,TS 约 7.5% 。 分实验组和对照组 ,每组 3 个平行。发酵过程持续 29 d ,每 12 h 摇动 1 次反应瓶,保证有机质被充分利用。

表 4 正式实验各实验组组成 (g)

分 组	苎麻废弃物	接种物	水
实验组	175	1065	260
对照组	0	1065	0

# 1.4 参数测定及方法

pH 值、总固体( TS)、可挥发性固体( VS)、污泥体积指数( SVI) 等常规参数使用标准方法进行测定 [111]。  $CH_4$  和  $CO_2$  百分比利用气相色谱法进行测定,色谱柱使用 PEG-20M 毛线管柱,以氮气为载气,流速 30 mL•min  $^{-1}$ 。 柱箱、进样器和检测器的温度分别是 180  $^{\circ}$  ,180  $^{\circ}$  和 200  $^{\circ}$  。 产气量采用排水集气法测定。纤维素、半纤维素、木质素、灰分根据文

# 献方法[12]测定。

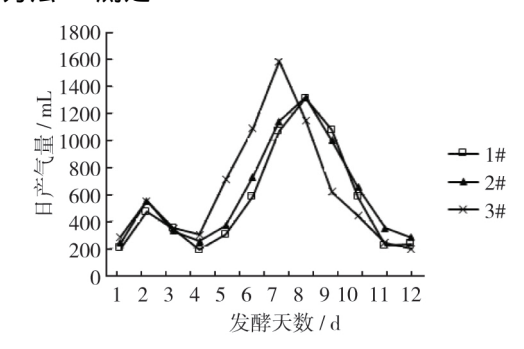


图 2 污泥驯化前苎麻废弃物厌氧消化日产气量曲线

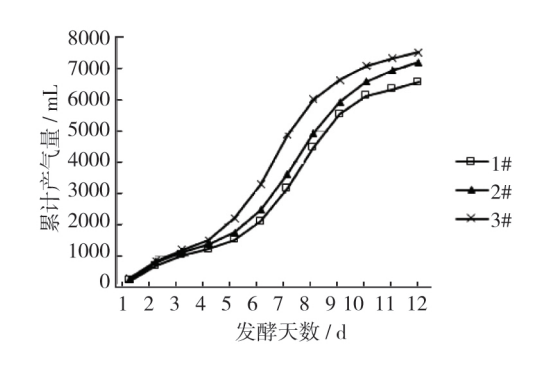


图 3 污泥驯化前苎麻废弃物厌氧消化累计产气量曲线

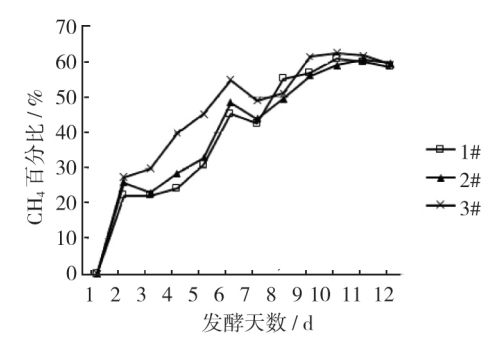


图 4 污泥驯化前苎麻废弃物厌氧消化 CH。百分比曲线

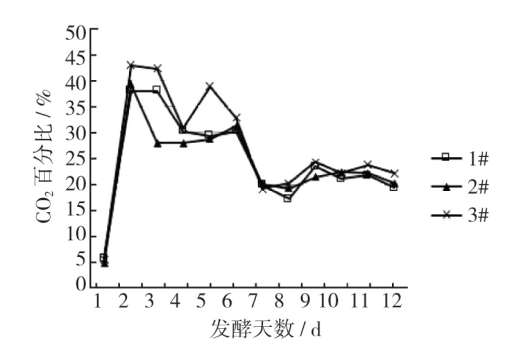


图 5 污泥驯化前苎麻废弃物厌氧消化 CO。百分比曲线

#### 2 结果与讨论

2.1 污泥驯化前苎麻废弃物产气特性分析 厌氧消化过程中日产气量变化规律如图 2 图 5 所示 3 组平行实验均出现 2 个产气高峰 ,第 1 个高峰出现在发酵第 2 天 ,日产气量约 500 mL 左右 ,第 2 个高峰出现在发酵 1 周左右 ,日产气量大于 1300 mL。 CO<sub>2</sub> 百分比(见图 5)的高峰与第 1 个产气高峰时间一致 ,说明发酵第 2 天底物出现强烈的水解并产生大量 CO<sub>2</sub> 随后 CO<sub>2</sub> 百分比下降 ,CH<sub>4</sub> 百分比(见图 4)升高 ,从第 2 天的 25%左右 ,到第 10天 CH<sub>4</sub> 百分比超过 60% ,说明这段时间水解产物逐渐被产甲烷菌利用 ,并且在第 7~8 天达到日产气(见图 2)最大值。随后日产气量逐渐下降 ,累计产气量(见图 3)的增加也随之变得缓慢。在第 12 天累计产气量达到 7000 mL 左右。

在整个反应过程中 1#.2#.3#3 组平行实验的  $CO_2$  百分比变化相对一致,仅在发酵初期产生较多  $CO_2$  ,而  $CH_4$  百分比也逐步稳定上升,同时,此过程中 pH 值都稳定在  $7.1 \sim 7.5$ ,这说明苎麻废弃物作为原料进行厌氧消化的过程并不易发生酸化。第 9 天之后  $CH_4$  百分比稳定于 60%,且产气正常,表明污泥驯化成功,并初步显示苎麻废弃物的厌氧消化

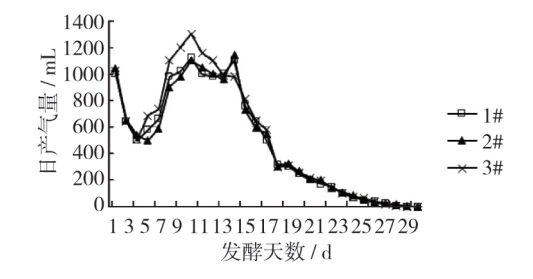


图 6 污泥驯化后苎麻废弃物日产气量曲线

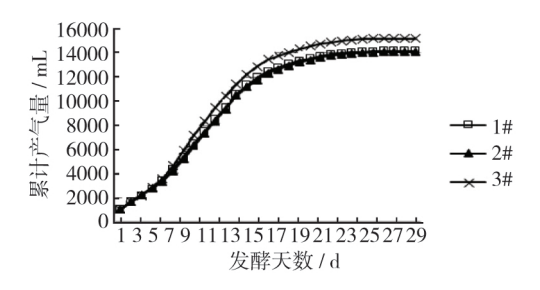


图 7 污泥驯化后苎麻废弃物累计产气量曲线

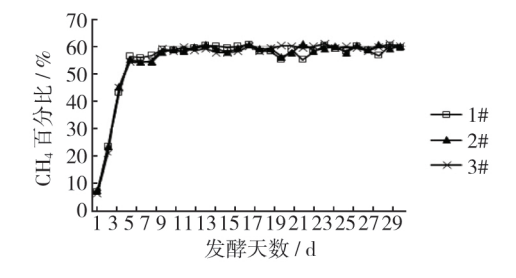


图 8 污泥驯化后苎麻废弃物 CH<sub>4</sub> 百分比曲线

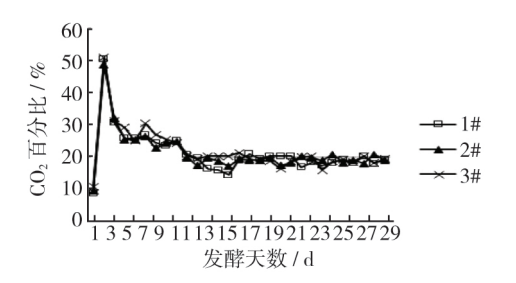


图 9 污泥驯化后苎麻废弃物 CO2 百分比曲线

可行性,为后续的厌氧消化实验提供了接种物。

# 2.2 污泥驯化后苎麻废弃物产气特性分析

经过2.1 的污泥驯化,采用其厌氧消化液作为 接种物 苎麻废弃物厌氧消化过程中日产气量变化 规律如图 6 所示 3 组平行实验均出现两个产气高 峰 第1个高峰在发酵第1天,日产气量约1000 mL 左右 第2个高峰出现在发酵一周左右 ,日产气量大 于 1100 mL。CO, 百分比(见图 9)的高峰与第 1 个 产气高峰时间一致,说明发酵第1天底物出现强烈 的水解并产生大量 CO。随后 CO。百分比下降 CH4 百分比(见图8)升高 从第1天的10%左右 到第5 天达到 55% 说明这段时间水解产物逐渐被产甲烷 菌利用,并且在第7~12天达到日产气(见图6)最 大值。随后日产气量逐渐下降,累计产气量(见图 7) 的增加也随之变得缓慢。在第19天累计产气量 达到 14000 mL 左右 后续产气增加非常缓慢。在第 27 天 日产气量接近0。因此,可计算出苎麻废弃物原 料产甲烷潜力为 44 mL•g<sup>-1</sup>鲜料 即 194 mL•g<sup>-1</sup>TS。

在整个反应过程中 1# 2# 3#这 3 组平行的  $CO_2$  百分比变化相对一致,仅在发酵初期产生较多  $CO_2$ ,到第 10 天降至 20% 左右,而  $CH_4$  百分比也逐步稳定上升至 60%,可见采用驯化后的污泥进一步确认了苎麻废弃物的厌氧消化可行性。

# 2.3 污泥驯化对苎麻废弃物厌氧消化的影响

相比于普通接种污泥,采用驯化后的污泥: 1) 可使第1个产气高峰提前,表明驯化后的污泥更易水解底物,为后续反应加速; 2) 可延长第2个产气高峰时间,从驯化前的第7~8天,延长到驯化后的第7~12天,提升产气速率; 3) 采用驯化后的污泥,CH<sub>4</sub>百分比从第1天的小于10%,在5天内,迅速上升至55%,而采用普通接种污泥,需要9天才能使 CH<sub>4</sub>百分比上升至55%,可见污泥驯化提升了厌氧消化过程的甲烷化速率; 4) 采用驯化后的污泥,累计产气量的快速增长期可延长至第19天,而采用

普通接种污泥 第 12 天开始累计产气量增加得非常 缓慢; 5) 采用驯化后的污泥 CO<sub>2</sub> 百分比在第 3 天可下降至 30% 左右 而采用普通接种污泥 推后至第 6 天 表明驯化后的污泥使系统生化反应快速进行; 6) 采用驯化后的污泥 CO<sub>2</sub> 百分比第 10 天下降至

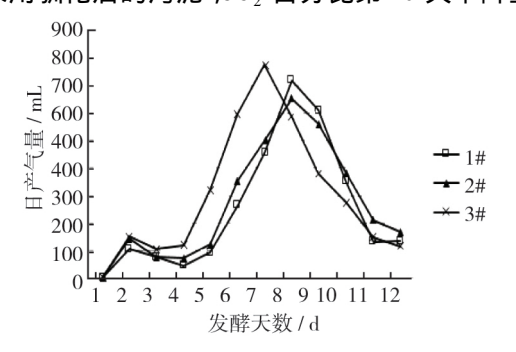


图 10 污泥驯化前苎麻废弃物厌氧消化日产甲烷量曲线

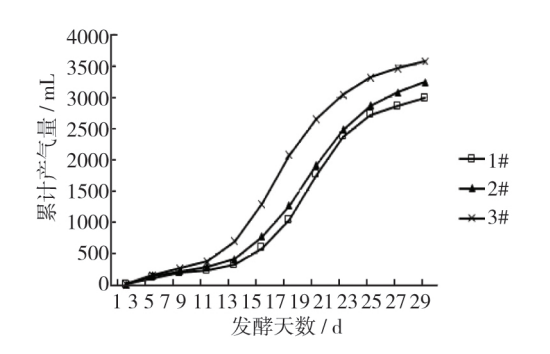


图 11 污泥驯化前苎麻废弃物厌氧消化累计产甲烷量曲线

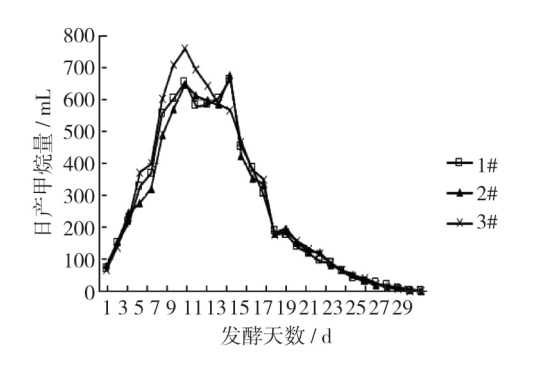


图 12 污泥驯化后苎麻废弃物厌氧消化日产甲烷量曲线

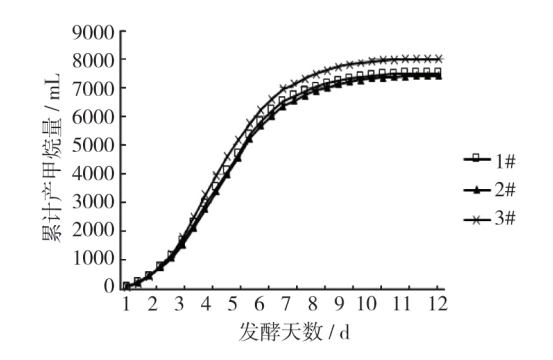


图 13 污泥驯化后苎麻废弃物厌氧消化累计产甲烷量曲线

20% ,而采用普通接种污泥 ,CO<sub>2</sub> 百分比提前至第 6 天下降至 20% ,由于 CO<sub>2</sub> ,产生量也代表着微生物自身活性 ,可见驯化后的污泥使厌氧消化系统整体生物活性更加持久<sup>[13-15]</sup>。

从图 10~图 13 可知,污泥驯化对苎麻废弃物 厌氧消化产甲烷量产生了较大影响。对比图 10 和 图 12 可知 污泥驯化使得日产甲烷高峰期延长 从 驯化前的第7~8天,延长至驯化后的第7~12天, 与日产气量变化一致,但污泥驯化后的日产甲烷量, 从第1天开始迅速上升,无缓滞期,而驯化前的日产 甲烷量则在第1~4天,存在一个显著的缓滞期。累 积产甲烷量方面 从图 11 和图 13 可知 污泥驯化使 得累积产甲烷量的快速增加期延长 ,从未驯化的 12 天,延长至驯化后的19天,与累积产气量变化一致, 但污泥驯化后的累积产甲烷量,从第1天开始迅速 上升,无缓滞期,而驯化前的累积产甲烷量则在第1 ~4 天 存在一个显著的缓滞期 与日产甲烷量变化 一致。因此,采用驯化后的污泥,可显著延长苎麻废 弃物厌氧消化产甲烷量的高峰期 缩减或消除缓滞 期 提高了原料产甲烷速率 有利于快速获取甲烷能 源。

#### 3 结论

苎麻废弃物厌氧消化产沼气出现两个高峰,用烷百分比在一周左右可快速上升至55%以上,原料产甲烷潜力为44 mL·g<sup>-1</sup>鲜料,即194 mL·g<sup>-1</sup>TS。直接采用普通接种物,苎麻废弃物表现出厌氧消化可行性,采用驯化后的污泥,可使甲烷百分比快速上升,明显缩减或消除产甲烷缓滞期,延长产气高峰期,提升原料产甲烷速率。所以下一步计划在厌氧消化过程中进行微生物群落的对比分析,以解析污泥驯化有利于苎麻废弃物厌氧消化的机理,通过调控微生物活性,进一步增加其产甲烷量和处理效率。

## 参考文献:

- [1] 毕文霞,徐玉芳,黄仲丽. 苎麻/棉混纺纱的生产实践 [J]. 河南纺织高等专科学校学报 2005 (03):32-34.
- [2] 陈克炎 刘 超 唐建东 等. 苎麻棉混纺织物的生产工艺优化[J]. 棉纺织技术 2015 *4*3(02): 65 68.
- [3] 邓剑锋,阳尧端. 苎麻生产工艺及剥制机械的研制 [J]. 农业机械 2009 (06): 87-91.
- [4] 郁崇文 涨元明 *養*繁昌. 苎麻纱线生产工艺与质量控制[J]. 中国纺织大学学报 ,1998 (02): 40.
- [5] 白玉超 郭 婷 杨瑞芳 等. 氮肥用量、刈割高度对饲用

- 苎麻产量、营养品质及败蔸的影响 [J]. 草业学报,  $2015\ 24(12):112-120$ .
- [6] 曹 诣. 苎麻测土配方施肥效应研究 [D]. 长沙: 湖南农业大学 2015.
- [7] 王郝为,戴求仲,侯振平,等. 饲用苎麻青贮特性及其 青贮前后营养成分与饲用价值比较[J]. 动物营养学 报 2018 30(01): 293 – 298.
- [8] 魏金涛,严念东,杨雪海,等. 苎麻及副产物作为饲料原料的应用研究进展[J]. 饲料工业,2015,36(S1):17-20.
- [9] 魏金涛 杨雪海,严念东,等. 苎麻营养成分分析及瘤胃降解特性研究[J]. 草业学报 2017,26(05):197 204.
- [10] 朱涛涛,朱爱国,余永廷,等. 苎麻饲料化的研究[J]. 草业科学 2016 33(02):338-347.
- [11] APHA. Methods for Examination of Water and Wastewater [C]//20th ed. American Public Health Asso-

- ciation/American Water Works Association/Water Environment Federation , Washington D C ,1998.
- [12] Soest P J v ,Robertson J B ,Lewis B A. Methods of dietary fiber , neutral detergent fiber , and nonstarch polysaccharides in relation to animal nutrition [J]. J Dairy Sci , 1991 74(10): 3583 – 3597.
- [13] Bareither C A , Wolfe G L , McMahon K D , et al. Microbial diversity and dynamics during methane production from municipal solid waste [J]. Waste Manage 2013 ,33 (10):1982-1992.
- [14] Cater M Fanedl L Logar R M. Microbial Community Analyses in Biogas Reactors by Molecular Methods [J]. Acta Chimica Slovenica 2013 60(2): 243 255.
- [15] Chung Y C , Chang Y C , Chen Y P , et al. Analysis of microbial diversity and optimal conditions for enhanced biogas production from swine waste anaerobic digestion [J]. J Renew Sustain Ener 2013 5(5).